

# Вестник МОСКОВСКОГО УНИВЕРСИТЕТА

№ 1 — 1969

УДК 62—501.15

А. М. ГРИГОРЬЕВ, Ю. В. ЛИСАКОВ

## ЧУВСТВИТЕЛЬНОСТЬ КОРНЕЙ ХАРАКТЕРИСТИЧЕСКОГО УРАВНЕНИЯ ЛИНЕЙНОЙ СИСТЕМЫ

Дается разработка применения метода траекторий корней для исследования чувствительности к изменениям параметра.

### Введение

В теории и практике автоматического управления исследование влияния малых изменений параметров САУ на ее свойства имеет большое значение. Подобными исследованиями занимается теория чувствительности, которая к настоящему времени сложилась как самостоятельная область теории автоматического управления [1].

В данной работе в исследовании чувствительности корней характеристического уравнения использован математический аппарат метода траекторий корней [2]. В статье вводится понятие векторной функции подвижности (вектора подвижности) и исследуются ее свойства. Предлагаемая методика является попыткой применения метода траекторий корней для исследования чувствительности.

К решению вопроса о чувствительности корней характеристического уравнения можно подойти с двух позиций. Во-первых, можно построить функцию подвижности корней, если заданы траектории, по которым перемещаются корни при изменении параметра. При этом можно определить значение параметра, соответствующее минимальной чувствительности системы к флуктуациям этого параметра. Во-вторых, если параметр системы не изменяется в широких пределах, можно построить вектор подвижности для исследуемого корня характеристического уравнения, т. е. определить направление и «скорость» смещения корня, не прибегая к построению траекторий. При изменении нескольких параметров можно построить «звезду» векторов подвижности.

Очевидно, чувствительность всей системы в целом определяется значениями функции подвижности для всех корней характеристического уравнения. Однако, если система имеет ярко выраженные доминирующие корни, то чувствительность системы в основном будет определяться значениями функции подвижности только этих корней. Задаваясь областью допустимого смещения корней и используя функцию подвижности, можно определить условия, которые необходимо наложить на

стабильность параметров. Кроме того, построив «звезду» векторов подвижности исследуемого корня, можно оценить степень влияния каждого из параметров на этот корень.

### Функция подвижности корней характеристического уравнения при малых изменениях параметра и ее свойства

Характеристическое уравнение линейных (или линеаризованных) систем автоматического управления в большинстве случаев может быть приведено к виду

$$\Phi_n(p) + \alpha \Psi_m(p) = 0, \quad (1)$$

где  $\Phi_n(p)$  и  $\Psi_m(p)$  — полиномы от  $p$  ( $p = \delta + j\omega$ ) степеней  $n$  и  $m$  с действительными коэффициентами,  $n$  и  $m$  — целые числа, причем  $n \geq m$ ,  $\alpha$  — параметр.

Пусть параметр  $\alpha$  подвержен малым изменениям. Степень чувствительности системы к изменениям параметра может быть охарактеризована величиной смещения корней характеристического уравнения. Рассмотрим на плоскости собственных частот вектор  $\vec{p}$ , проведенный из начала координат в точку, являющуюся корнем характеристического уравнения. Введем векторную функцию

$$\vec{\lambda}_\alpha = \frac{d\vec{p}}{d\alpha} \quad (2)$$

и назовем ее функцией подвижности корня [3]. Если изменение параметра  $\Delta\alpha$  мало, то смещение корня  $\vec{\Delta p}$  можно представить в виде  $\vec{\Delta p} = \vec{\lambda}_\alpha \Delta\alpha$ .

Функция подвижности  $\vec{\lambda}_\alpha$  может быть получена из характеристического уравнения (1) следующим образом.

Выразим

$$\alpha = - \frac{\Phi_n(p)}{\Psi_m(p)}. \quad (3)$$

Отсюда

$$\frac{dp}{d\alpha} = \frac{\Psi_m^2(p)}{\Psi_m'(p)\Phi_n(p) - \Psi_m(p)\Phi_n'(p)}. \quad (4)$$

Подставив в правую часть (4) значение исследуемого корня, получим некоторое комплексное число, причем модуль этого числа определяет абсолютное значение вектора подвижности, а аргумент — его направление в исследуемой точке по отношению к положительному направлению действительной оси.

Вообще говоря, можно получить более общее выражение для функции подвижности. Действительно, если характеристическое уравнение системы приводится к виду

$$\Phi_n(p) + \varphi(\alpha)\Psi_m(p) = 0 \quad (5)$$

(где  $\varphi(\alpha)$  — дифференцируемая функция параметра  $\alpha$ ), то функция подвижности запишется так:

$$\vec{\lambda}_\alpha = \frac{d\vec{p}}{d\varphi} \frac{d\varphi}{d\alpha}. \quad (6)$$

Выражение функции подвижности (6) отличается от (2) множителем  $\frac{d\varphi}{d\alpha}$ , причем  $\varphi(\alpha)$  — известная функция.

Если траектории корней уравнения (1) заданы, то вектор  $\vec{\lambda}_\alpha$  направлен по касательной к траектории в исследуемой точке в сторону возрастания параметра. В этом случае достаточно определить  $|\vec{\lambda}_\alpha|$ . В работе [3] для  $|\vec{\lambda}_\alpha|$  получена формула

$$|\vec{\lambda}_\alpha| = \frac{\sqrt{1 + \left(\frac{f'_\delta}{f'_\omega}\right)^2}}{\left|\frac{\partial\alpha}{\partial\delta} - \frac{\partial\alpha}{\partial\omega} \frac{f'_\delta}{f'_\omega}\right|}, \quad (7)$$

где  $f(\delta, \omega) = 0$  — уравнение траекторий,  $\alpha = \alpha(\delta, \omega)$  — формула параметра. Если траектории корней не заданы, то вектор подвижности определяется по формуле (22), являющейся следствием формулы (4).

Функция подвижности в форме (4) или (7) является функцией комплексного переменного  $p$ , или, что то же самое, функцией  $\delta$  и  $\omega$ . Применяя формулу параметра  $\alpha = \alpha(\delta, \omega)$  [2], можно перейти к рассмотрению  $\vec{\lambda}_\alpha$  как функции  $\alpha$  и строить модуль функции подвижности ( $|\vec{\lambda}_\alpha|$ ) в координатах  $\lambda(\alpha)$ . Значение функции подвижности для исследуемого корня в дальнейшем будем называть просто подвижностью данного корня. Функция  $\lambda(\alpha)$  имеет следующие свойства.

1. Подвижность корней на траекториях определяется корневым портретом системы и не зависит от положения мнимой оси.

2. При приближении корней к кратным точкам траекторий, не являющихся предельными, подвижность стремится к бесконечности.

3. В простых точках траекторий, включая и простые начальные точки ( $\alpha = 0$ ), подвижность конечна.

4. Подвижность действительных корней, уходящих в бесконечность при  $|\alpha| \rightarrow \infty$ , определяется асимптотическим порядком системы  $n - m$ . Если  $n - m = 1$ , т. е. система по параметру  $\alpha$  асимптотически первого порядка, то  $\lim_{|\alpha| \rightarrow \infty} \lambda(\alpha) = \lim_{|\delta| \rightarrow \infty} |\vec{\lambda}_\alpha| = \text{const}$ . Значение этой константы

определяется из развернутого вида полиномов  $\Phi_n(p)$  и  $\Psi_m(p)$  и равно отношению коэффициентов при старших степенях этих полиномов. При  $n - m > 1$  подвижность действительных корней при  $|\alpha| \rightarrow \infty$  стремится к нулю.

5. Подвижность комплексно-сопряженных корней, уходящих в бесконечность при  $|\alpha| \rightarrow \infty$ , стремится к нулю всегда.

6. При приближении корней к конечным предельным точкам ( $|\alpha| \rightarrow \infty$ ) подвижность этих корней стремится к нулю.

Свойство 1 вытекает из свойств траекторий [2]. Свойства 2—6 доказываются в приложении.

Свойства функции подвижности можно проиллюстрировать следующим примером. Рассмотрим характеристическое уравнение системы третьего порядка

$$p(p+2)^2 + \alpha = 0. \quad (8)$$

Траектории корней уравнения (8) при изменении  $\alpha$  от 0 до  $+\infty$  приведены на рис. 1. Стрелкой указано направление движения корней

из начальных точек (обозначенных крестами) при увеличении параметра  $\alpha$ . Зависимость  $\lambda(\alpha)$  вдоль траекторий корней этого уравнения показана на рис. 2. Ветви траекторий и соответствующие им ветви функции  $\lambda(\alpha)$  обозначены на рисунке цифрами. Из рис. 2 видно, что при приближении корней к кратной точке на действительной оси  $\delta = -0,66$  ( $\alpha = 1,18$ ) подвижность корней на ветвях 1, 2, 3 неограниченно возрастает. Кроме того, в системе имеется еще кратная начальная точка  $\delta = -2$  ( $\alpha = 0$ ). В этой начальной точке подвижность также бес-

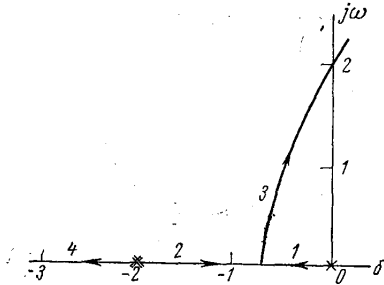


Рис. 1

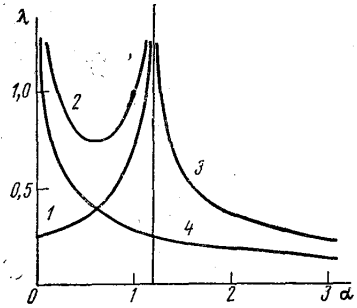


Рис. 2

конечна (ветви 2 и 4). При увеличении  $\alpha$  больше 1,18 подвижность корней на ветвях, уходящих в бесконечность (ветви 3 и 4), монотонно убывает, причем  $\lim_{\alpha \rightarrow \infty} \lambda(\alpha) = 0$ . Бесконечное возрастание подвижности при приближении корней к кратным точкам связано с невозможностью реализации систем с кратными полюсами передаточной функции.

### Исследование чувствительности системы «самолет—автопилот»

Применим полученные результаты для исследования чувствительности системы угловой стабилизации самолета [4] к изменениям реальных параметров. Характеристическое уравнение системы, приведенное к угловым ошибкам, имеет вид

$$T p^4 + \left(1 + \frac{T}{T_{\Omega}}\right) p^3 + \left(\frac{1}{T_{\Omega}} + k_2 k_{\delta} + T k_{\alpha}\right) p^2 + (k_{\alpha} + k_1 k_{\delta}) p + k_0 k_{\delta} = 0. \quad (9)$$

В уравнении (9)  $T$  — постоянная времени автопилота,  $k_0$ ,  $k_1$ ,  $k_2$  — коэффициенты усиления автопилота по углу, угловой скорости и угловому ускорению соответственно. Кроме того,

$$\frac{1}{T_{\Omega}} = \frac{m_z^{\Omega} z_{\rho} V s b_A^2}{2J_z}, \quad k_{\alpha} = \frac{m_z^{\alpha} \rho V^2 s b_A}{2J_z}, \quad k_{\delta} = \frac{m_z^{\delta} \rho V^2 s b_A}{2J_z},$$

где  $\rho$  — плотность воздуха,  $V$  — скорость полета,  $s$  — характерная площадь крыла,  $b_A$  — средняя аэродинамическая хорда крыла,  $J_z$  — момент инерции самолета вокруг соответствующей оси,  $m_z^{\Omega}$ ,  $m_z^{\alpha}$  и  $m_z^{\delta}$  — аэродинамические коэффициенты. Рассмотрим вид функции подвижности для одного из параметров при изменении этого параметра, а также влияние различных параметров на положение доминирующих корней.

Рассмотрим подвижность корней уравнения (9) по параметру  $k_0$  (1/сек) внутри всей области изменения этого параметра для системы стабилизации крена самолета. При этом  $k_{\alpha} = 0$ , так как момент аэродинамических сил

при движении вокруг продольной оси равен нулю (при отсутствии управляющего воздействия). Примем, как и в работе [5],  $T = 0,1 \text{ сек}$ ,  $1/T_{\Omega} = 2,5^1/\text{сек}$ ,  $k_{\delta} = 30^1/\text{сек}$ ,  $k_1 = 1,1$ ,  $k_2 = 0,16 \text{ сек}$ ; кроме того, пусть  $s = 10 \text{ м}^2$ ,  $b_A = 2 \text{ м}$ ,  $J_z = 20000 \text{ кг} \cdot \text{м} \cdot \text{сек}^2$ ,  $V = 900 \text{ км/час}$ ,  $\rho = 0,0372 \frac{\text{кг} \cdot \text{сек}^2}{\text{м}^4}$  (полет на высоте  $11 \text{ км}$ ),  $m_z^{\delta} = 25,806$  и  $m_z^{\omega} = 268,817$ .

Подставив все значения параметров в уравнение (9), получим

$$0,1p^4 + 1,25p^3 + 7,3p^2 + 33p + 30k_0 = 0. \quad (10)$$

На рис. 3 показаны траектории корней уравнения (10) при изменении параметра  $k_0$  от нуля до критического значения  $k_{0 \text{ кр}} = 4,104$ , при котором система возбуждается на частоте  $\omega_{\text{кр}} = 5,138 \text{ 1/сек}$ . Отдельные вет-

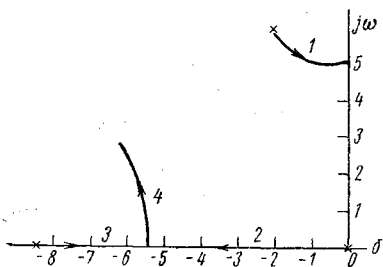


Рис. 3

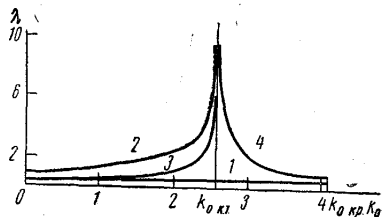


Рис. 4

ви траектории обозначены цифрами. Зависимость подвижности  $\lambda(k_0)$  приведена на рис. 4. Номера кривых соответствуют номерам ветвей на рис. 3. Как видим,  $\lambda(k_0)$  для ветвей 2, 3 и 4 бесконечно возрастает при приближении параметра  $k_0$  к значению  $k_{0 \text{ к.т.}} = 2,57$ , соответствующему кратной точке траектории. Значение функции подвижности для ветви 1 практически не изменяется. В работах [5, 6] дан метод получения оптимальных значений коэффициентов  $k_0$ ,  $k_1$  и  $k_2$ , минимизирующих интегральную квадратичную ошибку.

Для рассматриваемой системы при заданных  $k_1$  и  $k_2$  оптимальное значение  $k_0 \approx 2$ . Тогда, учитывая, что  $k_0$  допускает некоторые изменения в обе стороны [5], из рис. 4 следует, что с точки зрения уменьшения чувствительности желательно в допустимых пределах уменьшить значение коэффициента

$k_0$ . При этом подвижность корней на ветви 1 не изменится, а подвижность на ветвях 2 и 3 — уменьшится.

Исследуем влияние малых изменений параметров на доминирующие корни уравнения (10), полагая  $k_0 = 2$ . При этом доминирующие корни равны:  $p_{1,2} = -1,165 \pm j5,107$ ; два других корня действительны и равны соответственно  $p_3 = -3,087$  и  $p_4 = -7,083$ . На рис. 5 изображены вектора подвижности от параметров  $k_0$ ,  $k_1$ ,  $k_2$ ,  $m_z^{\delta}$ ,  $m_z^{\omega}$ ,  $\frac{\rho}{J_z}$  и  $T$  в точке  $p_1$ . Длина вектора равна модулю функции подвижности, а направление совпадает с направлением смещения корня при бесконечно малом возрастании параметра. Так как значения модулей функции подвижности существенно различны, то на рис. 5 для некоторых параметров введены масштабные коэффициенты.

Анализ величин и направлений векторов подвижности в исследуемой точке позволяет определить степень влияния изменений различных

параметров на положение корня. Из рис. 5 видно, что увеличение  $T$  и  $k_0$  ведет к уменьшению степени устойчивости, в то время как увеличение  $k_2$  увеличивает степень устойчивости. Параметр  $k_1$  почти не влияет на степень устойчивости, но изменяет частоту системы. Точно так же можно рассмотреть влияние и других параметров. Кроме того, существенным является вывод о возможности стабилизации положения доминирующих корней при малом изменении каких-либо неконтролируемых параметров за счет сознательного изменения других параметров. Например, пусть при изменении аэродинамических коэффициентов сместится корень  $p_1$ . Тогда, подбирая соответствующие приращения  $\Delta k_0$ ,  $\Delta k_1$  и  $\Delta k_2$ , можно с достаточной степенью точности вернуть этот корень в исходное положение.

## ПРИЛОЖЕНИЕ

### Доказательство свойств функции подвижности.

Свойства 2 и 3. Выражение (4) функции подвижности, записанное через полиномы  $\Phi_n(p)$ ,  $\Psi_m(p)$  и их производные, в знаменателе содержит левую часть уравнения возможных кратных точек траекторий корней [2]. Если корень приближается к кратной точке траекторий, то знаменатель выражения (4), уменьшаясь, стремится к нулю, в то же время числитель при конечных значениях корней — величина конечная. Поэтому при приближении корней к кратным точкам траекторий значение функции подвижности возрастает и стремится к бесконечности. Во всех остальных точках траекторий, включая и простые начальные ( $\alpha=0$ ), знаменатель выражения (4) в нуль не обращается и значение функции подвижности конечно. Таким образом, свойства 2 и 3 функции подвижности доказаны.

Свойства 4 и 5. Для доказательства этих свойств рассмотрим предел функции подвижности  $\lambda(\alpha)$  при  $|\alpha| \rightarrow \infty$ .

$$\lim_{|\alpha| \rightarrow \infty} \lambda(\alpha) = \lim_{p \rightarrow \infty} |\vec{\lambda}_\alpha| = \lim_{p \rightarrow \infty} \left| \frac{\Psi_m^2(p)}{\Phi_n(p) \Psi'_m(p) - \Phi'_n(p) \Psi_m(p)} \right|, \quad (11)$$

где

$$\Phi_n(p) = a_0 p^n + a_1 p^{n-1} + \dots + a_{n-1} p + a_n = a_0 (p^n + \bar{a}_1 p^{n-1} + \dots + \bar{a}_{n-1} p + \bar{a}_n) = a_0 \bar{\Phi}_n(p) \quad (12)$$

$$\Psi_m(p) = b_0 p^m + b_1 p^{m-1} + \dots + b_{m-1} p + b_m = b_0 (p^m + \bar{b}_1 p^{m-1} + \dots + \bar{b}_{m-1} p + \bar{b}_m) = b_0 \bar{\Psi}_m(p)$$

причем  $n \geq m$ .

Запишем формулу (11) в виде

$$\lim_{|\alpha| \rightarrow \infty} \lambda(\alpha) = \lim_{p \rightarrow \infty} \left| \frac{b_0}{a_0 \left[ \frac{\bar{\Phi}_n(p) \bar{\Psi}'_m(p)}{\bar{\Psi}_m^2(p)} - \frac{\bar{\Phi}'_n(p)}{\bar{\Psi}_m(p)} \right]} \right|. \quad (13)$$

Подсчитаем порядок полинома, полученного в знаменателе выражения (13), учитывая, что производная от полинома дает полином, порядок которого на единицу ниже порядка исходного полинома. Полином  $Q = \frac{\bar{\Phi}_n \bar{\Psi}'_m}{\bar{\Psi}_m^2}$  имеет порядок  $n + m - 1 - 2m = n - m - 1$ .

Порядок полинома  $R = \frac{\bar{\Phi}'_n}{\bar{\Psi}_m}$  равен  $n - m - 1$ . Отсюда порядок полинома

$$G = Q - R \quad (14)$$

равен  $n - m - 1$ . Поэтому при  $n - m = 1$

$$\lim_{|\alpha| \rightarrow \infty} \lambda(\alpha) = \frac{b_0}{a_0}, \quad (15)$$

а при  $n - m > 1$

$$\lim_{|\alpha| \rightarrow \infty} \lambda(\alpha) = 0. \quad (16)$$

Таким образом, если действительный корень уходит в бесконечно удаленную предельную точку, то его подвижность, в зависимости от асимптотического порядка  $n-m$  характеристического уравнения, стремится либо к константе, либо к нулю. Комплексно-сопряженные корни могут уходить в бесконечность лишь в том случае, если асимптотический порядок характеристического уравнения больше единицы. Поэтому подвижность комплексно-сопряженных корней, уходящих в бесконечность, всегда стремится к нулю.

Свойства 4 и 5 функции подвижности доказаны.

Свойство 6. По определению предельные точки находятся из уравнения  $\Psi_m(p) = 0$ . Если знаменатель выражения функции подвижности (4) конечен, то при приближении корня к предельной точке значение полинома  $\Psi_m(p)$ , уменьшаясь, стремится к нулю, следовательно, подвижность корня, приближающегося к предельной точке, также стремится к нулю.

Особо следует рассмотреть случай кратной предельной точки, так как в этом случае при приближении корня к предельной точке знаменатель выражения (4) также стремится к нулю и мы имеем неопределенность вида  $\frac{0}{0}$ .

Пусть характеристическое уравнение имеет вид

$$\Phi_n(p) \mp \alpha(p-z)^k \Psi_l(p) = 0, \quad (17)$$

где  $k \mp l = m$ ,  $z$  — предельная точка  $k$ -той кратности. Тогда формула (4) будет иметь вид

$$\lambda = \frac{(p-z)^{2k} \Psi_l^2(p)}{\Phi_n(p) \cdot k(p-z)^{k-1} \Psi_l(p) \mp (p-z)^k \Psi_l'(p) \Phi_n(p) - \Phi_n'(p) \cdot (p-z)^k \Psi_l(p)}. \quad (18)$$

Поделим числитель и знаменатель выражения (18) на  $(p-z)^k$  и перейдем к пределу при  $p \rightarrow z$ :

$$\lim_{p \rightarrow z} \lambda(\alpha) = \lim_{p \rightarrow z} \frac{(p-z)^k \Psi_l^2}{\Phi_n(p) \Psi_l(p) \frac{k}{p-z} \mp \Psi_l'(p) \Phi_n(p) - \Phi_n'(p) \Psi_l(p)} = 0. \quad (19)$$

Таким образом, свойство 6 функции подвижности доказано.

**Значения функции подвижности в точках экстремума траекторий.**

При построении функции подвижности легко можно определить значение  $\lambda(\alpha)$  в точках экстремума траекторий. Положив в (7)  $f'_\delta(\delta, \omega) = 0$  (необходимое условие экстремума), получим

$$\lambda_\alpha = \frac{1}{\frac{\partial \alpha}{\partial \delta}}. \quad (20)$$

Нетрудно показать, что для точек, в которых существует вертикальная касательная к траектории ( $f'_\omega(\delta, \omega) = 0$ ),

$$\lambda = \frac{1}{\frac{\partial \alpha}{\partial \omega}}. \quad (21)$$

**Расчетные формулы для получения векторной функции подвижности.**

При использовании ЭЦВМ для вычисления значений функции подвижности удобно пользоваться выражением полиномиального вида

$$\lambda = \frac{\sqrt{C^2 + \omega^2 D^2}}{A^2 \mp \omega^2 B^2} e^{j \arctg \frac{\omega D}{C}}, \quad (22)$$

где

$$A = (\Phi_r \Psi_r' - \Phi_r' \Psi_r) \mp \omega^2 (\Phi_i \Psi_i' - \Phi_i' \Psi_i),$$

$$B = (\Phi_i \Psi_r' - \Phi_i' \Psi_r) \mp (\Phi_r \Psi_i' - \Phi_r' \Psi_i),$$

$$C = A \Psi_r^2 - A \omega^2 \Psi_i^2 \mp 2 \omega^2 \Psi_r \Psi_i B,$$

$$D = 2A\Psi_r\Psi_i - B\Psi_r^2 + \omega^2 B\Psi_i^2.$$

Выражение (22) получено подстановкой

$$\Phi_n = \Phi_r + j\omega\Phi_i, \quad \Psi_m = \Psi_r + j\omega\Psi_i,$$

$$\Phi'_n = (\Phi_r)'_{\delta} + j\omega(\Phi_i)'_{\delta}, \quad \Psi'_m = (\Psi_r)'_{\delta} + j\omega(\Psi_i)'_{\delta}.$$

в (14). Значения  $\Phi_r$ ,  $\Phi_i$ ,  $\Psi_r$  и  $\Psi_i$  приведены в [2].

Приведенные формулы позволяют вычислить функцию подвижности для систем любого порядка.

Авторы благодарны Г. А. Бендрикову за обсуждение результатов этой работы, а также В. А. Брычихину за полезную дискуссию.

#### ЛИТЕРАТУРА

1. Кокотович П. В., Рутман Р. С. «Автоматика и телемеханика», 26, № 4, 1965.
2. Бендриков Г. А., Теодорчик К. Ф. Траектории корней линейных автоматических систем. М., «Наука», 1964.
3. Григорьев А. М., Лисаков Ю. В. «Вестн. Моск. ун-та», сер. физ., астрон., № 2, 1968.
4. Боднер В. А., Козлов М. С. Стабилизация летательных аппаратов и автономолты. М., Оборонгиз, 1961.
5. Матыцин В. Д., Ряполов В. А. «Автоматика и телемеханика», 20, № 4, 1959.
6. Матыцин В. Д. «Автоматика и телемеханика», 24, № 4, 1963.

Поступила в редакцию  
7.5 1968 г.

Кафедра  
физики колебаний